

# РАССЕЯНИЕ ЭЛЕКТРОМАГНИТНЫХ ВОЛН НА ТОНКИХ АНИЗОТРОПНЫХ ДИЭЛЕКТРИЧЕСКИХ СТЕРЖНЯХ, БЛИЗКИХ К ЭЛЛИПТИЧЕСКИМ

*Л. К. Гал, Н. А. Хижняк*

Харьков

При рассеянии электромагнитных волн на тонких стержнях произвольного поперечного сечения основной интерес представляет вычисление электрического и магнитного векторов Герца:

$$\vec{\Pi}^e = \frac{1}{4\pi} \int_V \left( \frac{\hat{\epsilon}}{\epsilon_1} - 1 \right) \vec{E}(\vec{r}') f(|\vec{r} - \vec{r}'|) d\vec{r}'; \quad (1)$$

$$\vec{\Pi}^m = \frac{1}{4\pi} \int_V \left( \frac{\hat{\mu}}{\mu_1} - 1 \right) \vec{H}(\vec{r}') f(|\vec{r} - \vec{r}'|) d\vec{r}', \quad (2)$$

через которые выражаются рассеянные поля. Для очень тонких стержней  $\frac{a}{\lambda} \ll 1$  выражения (1) — (2) приводятся к виду

$$\vec{\Pi}^e = \hat{g} \vec{E}_0(\vec{r}_n) f(|\vec{r} - \vec{r}_n|), \quad \vec{\Pi}^m = \hat{p} \vec{H}_0(\vec{r}_n) f(|\vec{r} - \vec{r}_n|),$$

где  $\vec{E}_0$ ,  $\vec{H}_0$  — невозмущенное электромагнитное поле. Вычисление матриц  $\hat{g}$  и  $\hat{p}$  для стержней более сложной геометрии, чем эллиптическая, и произвольной анизотропии по  $\epsilon$  и  $\mu$  и представляет собой основную задачу настоящего сообщения. Для анизотропных диэлектрических стержней эллиптического сечения эти результаты были получены в работе [1].

Рассмотрим задачу о рассеянии электромагнитных волн на стержнях, близких к эллиптическим.

Пусть на поверхности эллиптического цилиндра задан вектор  $\vec{\xi}(\vec{\rho})$ , характеризующий деформацию поперечного сечения цилиндра. Предположим также, что  $|\xi| \ll b$  при  $a > b$  и  $|\xi| \ll a$  при  $a < b$  ( $a$  и  $b$  —

полуоси эллипса). В результате подобной деформации площадь поперечного сечения рассеивающего цилиндра остается неизменной, т. е.

$$\oint \vec{\xi} \cdot d\vec{l} = 0, \quad (3)$$

а поперечное сечение приобретает геометрию, близкую к эллипсу.

Из (3) следует, что вектор деформации можно искать в виде

$$\vec{\xi} = \text{grad } \Phi,$$

где  $\Phi$  — функция деформаций.

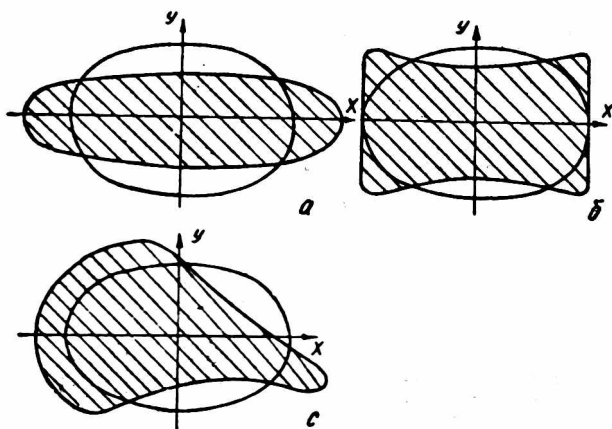
Цилиндры с простейшими поперечными сечениями, близкими к эллипсу, имеют геометрию, описываемую следующими функциями:

$$\Phi = \eta(x^2 - y^2); \quad (4)$$

$$\Phi = \eta(3x^2y - y^3); \quad (5)$$

$$\Phi = \eta[x^3 + y^3 - 3(x^2y + xy^2)]. \quad (6)$$

Поперечные сечения данных цилиндров представлены на рис. (а, б, с).



Определим внутренние поля и потенциалы Герца для цилиндров, деформация поперечного сечения которых задана функциями (4), (5).

### 1. Построение внутреннего поля деформированного цилиндра

В квазистатическом приближении поля  $\vec{E}(\vec{\rho})$ ,  $\vec{H}(\vec{\rho})$  внутри эллиптического цилиндра определяются следующими уравнениями:

$$\vec{E}_{\perp}(\vec{\rho}) = \vec{E}_{0\perp}(\vec{\rho}) + \frac{1}{2\pi} \text{grad div} \int_S \left( \frac{\hat{\epsilon}}{\epsilon_1} - 1 \right) \vec{E}(\vec{\rho}') \ln \frac{1}{|\vec{\rho} - \vec{\rho}'|} d\vec{\rho}';$$

$$\vec{H}_{\perp}(\vec{\rho}) = \vec{H}_{0\perp}(\vec{\rho}) + \frac{1}{2\pi} \text{grad div} \int_S \left( \frac{\hat{\mu}}{\mu_1} - 1 \right) \vec{H}(\vec{\rho}') \ln \frac{1}{|\vec{\rho} - \vec{\rho}'|} d\vec{\rho}', \quad (7)$$

решения которых имеют вид

$$\vec{E}^{(0)}(\vec{\rho}) = \hat{\alpha} \vec{E}_0, \quad \vec{H}^{(0)}(\vec{\rho}) = \hat{\beta} \vec{H}_0. \quad (8)$$

Элементы матриц  $\alpha_{ik}$ ,  $\beta_{ik}$  представлены в работе [1]. Вычисление матриц  $\alpha_{ik}$ ,  $\beta_{ik}$  для цилиндров с деформированными поперечными сечениями может быть выполнено в виде разложения по малому параметру  $\frac{\eta}{a}$ . В данной работе ограничимся членами линейными по  $\frac{\eta}{a}$ . Поле внутри цилиндра представим в виде

$$\vec{E} = \vec{E}^{(0)} + \vec{E}^{(0)'}, \tag{9}$$

где  $\vec{E}^{(0)}$  — внутреннее поле эллиптического цилиндра;

$\vec{E}^{(0)'}$  — добавка, обусловленная отклонением геометрии поперечного сечения от эллипса.

Из уравнения, определяющего поле  $\vec{E}$ , можем выделить уравнение относительно  $\vec{E}^{(0)}$  с известным решением (8) и уравнение относительно  $\vec{E}^{(0)'}$ , имеющее следующий вид:

$$\begin{aligned} \vec{E}^{(0)' }(\vec{\rho}) = & \frac{1}{2\pi} \text{grad div} \int_{S_0} \left( \frac{\hat{\epsilon}}{\epsilon_1} - 1 \right) \vec{E}^{(0)' } \ln \frac{1}{|\vec{\rho} - \vec{\rho}'|} d\vec{\rho}' + \\ & + \frac{1}{2\pi} \text{grad div} \int_{S_1} \left( \frac{\hat{\epsilon}}{\epsilon_1} - 1 \right) \vec{E}^{(0)} \ln \frac{1}{|\vec{\rho} - \vec{\rho}'|} d\vec{\rho}', \end{aligned} \tag{10}$$

где  $S_0$  — площадь эллипса;

$S_1$  — площадь, обусловленная деформацией.

Из (10) видно, что уравнение, определяющее добавку, вызванную деформацией, является аналогичным известному уравнению (7) для эллиптического цилиндра, но с более сложным свободным членом. Свободный член перепишем в виде интегралов по площади эллипса

$$\begin{aligned} \int_{S_1} \left( \frac{\hat{\epsilon}}{\epsilon_1} - 1 \right) \vec{E}^{(0)} \ln \frac{1}{|\vec{\rho} - \vec{\rho}'|} d\vec{\rho}' = & \int_{S_1} \left( \frac{\hat{\epsilon}}{\epsilon_1} - 1 \right) \vec{E}^{(0)} \times \\ & \times \ln \frac{1}{|\vec{\rho} - \vec{\rho}'|} [\vec{\xi} d\vec{l}] = - \int_{S_0} \vec{\xi} \left( \left( \frac{\hat{\epsilon}}{\epsilon_1} - 1 \right) \vec{E}^{(0)} \times \right. \\ & \times \nabla \ln \frac{1}{|\vec{\rho} - \vec{\rho}'|} \Big) d\vec{\rho}' - \int_{S_0} \left( \left( \frac{\hat{\epsilon}}{\epsilon_1} - 1 \right) \vec{E}^{(0)} \nabla \right) \vec{\xi} \ln \frac{1}{|\vec{\rho} - \vec{\rho}'|} d\vec{\rho}' + \\ & + \int_{S_0} (\vec{\xi} \nabla) \left( \frac{\hat{\epsilon}}{\epsilon_1} - 1 \right) \vec{E}^{(0)} \ln \frac{1}{|\vec{\rho} - \vec{\rho}'|} d\vec{\rho}'. \end{aligned} \tag{11}$$

Решение уравнения (7) известно, поэтому задача сводится к нахождению свободного члена для заданных функций деформации  $\Phi$ . Легко заметить, что вектор, определяемый данным соотношением (11), имеет компоненты, являющиеся функциями декартовых координат, причем, наивысшая степень равна степени функции  $\Phi(x, y)$ . Поэтому деформация типа (4) приводит к постоянной добавке  $\vec{E}^{(0)'}$ , деформации типа (5), (6) — линей-

ной относительно декартовых координат и т. д. Следовательно, для деформации типа (4) решением уравнения (10) является

$$\vec{E}^{(0)'} = \hat{\gamma} \vec{E}_0, \quad (12)$$

где

$$\begin{aligned} \gamma_{11} &= \frac{2\eta}{\Delta} \left\{ \frac{b}{a+b} \left[ 1 + \frac{a}{a+b} \left( \frac{\epsilon_{yy}}{\epsilon_1} - 1 \right) \right] \cdot \left[ \left( \frac{\epsilon_{xx}}{\epsilon_1} - 1 \right) \times \right. \right. \\ &\times \alpha_{11} + \frac{\epsilon_{xy}}{\epsilon_1} \alpha_{21} \left. \right] + \frac{ab}{(a+b)^2} \cdot \frac{\epsilon_{xy}}{\epsilon_1} \left[ \frac{\epsilon_{yx}}{\epsilon_1} \alpha_{11} + \left( \frac{\epsilon_{yy}}{\epsilon_1} - 1 \right) \alpha_{21} \right] \right\}; \\ \gamma_{12} &= \frac{2\eta}{\Delta} \left\{ \frac{b}{a+b} \left[ 1 + \frac{a}{a+b} \left( \frac{\epsilon_{yy}}{\epsilon_1} - 1 \right) \right] \cdot \left[ \left( \frac{\epsilon_{xx}}{\epsilon_1} - 1 \right) \alpha_{12} + \right. \right. \\ &+ \frac{\epsilon_{xy}}{\epsilon_1} \alpha_{22} \left. \right] + \frac{ab}{(a+b)^2} \frac{\epsilon_{xy}}{\epsilon_1} \left[ \frac{\epsilon_{yx}}{\epsilon_1} \alpha_{12} + \left( \frac{\epsilon_{yy}}{\epsilon_1} - 1 \right) \alpha_{22} \right] \right\}; \\ \gamma_{21} &= -\frac{2\eta}{\Delta} \left\{ \frac{a}{a+b} \left[ 1 + \frac{b}{a+b} \left( \frac{\epsilon_{xx}}{\epsilon_1} - 1 \right) \right] \cdot \left[ \frac{\epsilon_{yx}}{\epsilon_1} \alpha_{11} + \right. \right. \\ &+ \left. \left( \frac{\epsilon_{yy}}{\epsilon_1} - 1 \right) \alpha_{21} \right] + \frac{ab}{(a+b)^2} \frac{\epsilon_{yx}}{\epsilon_1} \left[ \left( \frac{\epsilon_{xx}}{\epsilon_1} - 1 \right) \alpha_{11} + \frac{\epsilon_{xy}}{\epsilon_1} \alpha_{21} \right] \right\}; \\ \gamma_{22} &= -\frac{2\eta}{\Delta} \left\{ \frac{a}{a+b} \left[ 1 + \frac{b}{a+b} \left( \frac{\epsilon_{xx}}{\epsilon_1} - 1 \right) \right] \left[ \frac{\epsilon_{yx}}{\epsilon_1} \alpha_{12} + \right. \right. \\ &+ \left. \left( \frac{\epsilon_{yy}}{\epsilon_1} - 1 \right) \alpha_{22} \right] + \frac{ab}{(a+b)^2} \frac{\epsilon_{yx}}{\epsilon_1} \left[ \left( \frac{\epsilon_{xx}}{\epsilon_1} - 1 \right) \alpha_{12} + \frac{\epsilon_{xy}}{\epsilon_1} \alpha_{22} \right] \right\}. \end{aligned}$$

(Элементы матрицы  $\alpha_{ik}$  и  $\Delta$  определены в работе [1]). Полное внутреннее поле деформированного цилиндра можно записать в виде

$$\vec{E}^{(0)}(\rho) = (\hat{\alpha} + \hat{\gamma}) \vec{E}_0.$$

Для деформаций типа (5), (6) внутреннее поле представим следующим образом:

$$\begin{aligned} E_i^{(0)} &= \sum_{k=1}^2 \alpha_{ik} E_{0k} + (A_i' x + B_i' y) e_i; \\ H_i^{(0)} &= \sum_{k=1}^2 \beta_{ik} H_{0k} + (C_i' x + D_i' y) e_i. \end{aligned} \quad (13)$$

Вторые слагаемые (13) представляют линейную относительно декартовых координат добавку. Коэффициенты  $A_i'$ ,  $B_i'$ ,  $C_i'$ ,  $D_i'$  определяются из уравнения (10) с линейными свободными членами. Интересно отметить, что эти уравнения аналогичны уравнениям, определяющим внутреннее поле эллиптического цилиндра в первом по  $\frac{a}{\lambda}$  приближении, но имеют отличные свободные члены. Таким образом, решение уравнения (10) нам известно, надо лишь заменить приведенные в этой работе свободные члены на

$$\begin{aligned} x_{xx} &= 12\eta \left[ \frac{\epsilon_{yx}}{\epsilon_1} E_x^0 + \left( \frac{\epsilon_{yy}}{\epsilon_1} - 1 \right) E_y^0 \right] \frac{ab}{(a+b)^2}; \\ x_{xy} = x_{yx} &= 6\eta \left[ \left( \frac{\epsilon_{xx}}{\epsilon_1} - 1 \right) E_x^0 + \frac{\epsilon_{xy}}{\epsilon_1} E_y^0 \right] \frac{a^2 + b^2}{(a+b)^2}; \quad x_{yy} = -x_{xx}. \end{aligned}$$

Магнитные составляющие находим по электрическим заменой  $\epsilon_{ik}$  на  $\mu_{ik}$ ,  $\vec{E}$  на  $\vec{H}$ .

## 2. Потенциалы Герца

Определим электрический и магнитный потенциалы Герца. Известно, что если рассеивающим телом является анизотропный диэлектрический эллиптический цилиндр, то для двухмерного дипольного рассеяния потенциалы Герца можно записать следующим образом:

$$\begin{aligned}\vec{\Pi}_g^e &= -\frac{i}{4} \int_S \left( \frac{\epsilon}{\epsilon_1} - 1 \right) \vec{E}^{(0)}(\vec{\rho}') d\rho'; \\ \vec{\Pi}_g^m &= -\frac{i}{4} \int_S \left( \frac{\mu}{\mu_1} - 1 \right) \vec{H}^{(0)}(\vec{\rho}') d\rho'.\end{aligned}\quad (14)$$

При рассеянии электромагнитной волны на деформированном цилиндре потенциалы Герца будут иметь вид

$$\begin{aligned}\vec{\Pi}_g^e &= -\frac{i}{4} \int_{S_0} \left( \frac{\epsilon}{\epsilon_1} - 1 \right) \vec{E}^{(0)}(\vec{\rho}') d\rho' - \frac{i}{4} \int_{S_0} \left[ \left( \frac{\epsilon}{\epsilon_1} - 1 \right) \vec{E}^{(0)'} + \right. \\ &\quad \left. + \left( \left( \frac{\epsilon}{\epsilon_1} - 1 \right) \vec{E}_{\nabla}^{(0)} \nabla \right) \vec{\xi} \right] d\rho',\end{aligned}\quad (15)$$

где второе слагаемое представляет добавку порядка  $\frac{\eta}{a}$ , обусловленную отклонением геометрии поперечного сечения цилиндра от эллипса. Так как интеграл по площади эллипса от нечетной функции по переменным  $x$ ,  $y$  равен нулю, то отличные от нуля в первом по  $\frac{\eta}{a}$  приближении добавки будут лишь в случае, когда функция  $\Phi$  является четной функцией декартовых координат.

Для деформации типа (4)

$$\vec{\Pi}_{g\perp}^e = g \vec{E}_0, \quad \vec{\Pi}_{g\perp}^m = \rho \vec{H}_0, \quad (16)$$

где

$$\begin{aligned}g_{11} &= -\frac{i\pi ab}{4} \left\{ \left( \frac{\epsilon_{xx}}{\epsilon_1} - 1 \right) [(1 - 2\eta) \alpha_{12} + \gamma_{12}] + \frac{\epsilon_{xy}}{\epsilon_1} [(1 - 2\eta) \alpha_{22} + \gamma_{22}] \right\}; \\ g_{12} &= -\frac{i\pi ab}{4} \left\{ \left( \frac{\epsilon_{xx}}{\epsilon_1} - 1 \right) [(1 - 2\eta) \alpha_{12} + \gamma_{12}] + \frac{\epsilon_{xy}}{\epsilon_1} [(1 - 2\eta) \alpha_{22} + \gamma_{22}] \right\}; \\ g_{21} &= -\frac{i\pi ab}{4} \left\{ \frac{\epsilon_{yx}}{\epsilon_1} [(1 + 2\eta) \alpha_{11} + \gamma_{11}] + \left( \frac{\epsilon_{yy}}{\epsilon_1} - 1 \right) [(1 + 2\eta) \alpha_{21} + \gamma_{21}] \right\}; \\ g_{22} &= -\frac{i\pi ab}{4} \left\{ \frac{\epsilon_{yx}}{\epsilon_1} [(1 + 2\eta) \alpha_{12} + \gamma_{12}] + \left( \frac{\epsilon_{yy}}{\epsilon_1} - 1 \right) [(1 + 2\eta) \alpha_{22} + \gamma_{22}] \right\}; \\ \Pi_{gz}^e &= -\frac{i\pi ab}{4} \left( \frac{\epsilon_{zz}}{\epsilon_1} - 1 \right) E_{0z}, \quad \Pi_{gz}^m = -\frac{i\pi ab}{4} \left( \frac{\mu_{zz}}{\mu_1} - 1 \right) H_{0z}.\end{aligned}$$

Элементы матрицы  $\rho_{ik}$  получают заменой  $\epsilon_{ik}$  на  $\mu_{ik}$ . Полученные результаты допускают следующую физическую интерпретацию. При решении задачи рассеяния электромагнитных волн на цилиндре конечной длины или на прямоугольной диэлектрической полосе часто используется приближенное рассмотрение. Цилиндр (или прямоугольник в двухмерном случае) заменяется эквивалентным ему в электродинамическом смысле эллипсоидом (полосой эллиптического сечения), для которых известно решение о рассеянии электромагнитной волны. При этом должны

сохраняться объем равнозначных фигур и отношение их полуосей. Полученные соотношения свидетельствуют о том, что такая замена справедлива с точностью до величин  $\left(\frac{\xi}{a}\right)^2$ . Для деформаций типа (5), (6) добавки, отличные от нуля, к потенциалам Герца будут порядка  $\left(\frac{\gamma}{a}\right)^2$ ,  $\left(\frac{\gamma}{a}\right)\left(\frac{a}{\lambda}\right)$ .

### 3. Внутренние поля деформированного цилиндра и потенциалы Герца в приближении $\left(\frac{\gamma}{a}\right)\left(\frac{a}{\lambda}\right)$

Аналогично квазистатическому случаю в первом по  $\frac{a}{\lambda}$  приближении решение ищем в виде суперпозиции внутреннего поля эллиптического цилиндра и добавки, обусловленной деформацией поперечного сечения. Уравнение, дающее искомую добавку, будет иметь следующий вид:

$$\begin{aligned} \vec{E}_\perp^{(1)'} &= \frac{1}{2\pi} \text{grad div} \int_{S_0} \left( \frac{\epsilon}{\epsilon_1} - 1 \right) \vec{E}^{(1)} \ln \frac{1}{|\vec{\rho} - \vec{\rho}'|} d\vec{\rho}' + \\ &+ \frac{1}{2\pi} \text{grad div} \int_{S_1} \left( \frac{\epsilon}{\epsilon_1} - 1 \right) \vec{E}^{(1)} \ln \frac{1}{|\vec{\rho} - \vec{\rho}'|} d\vec{\rho}' - \\ &- \frac{\mu_1}{2\pi} \int_{S_1} \left[ \text{grad} \ln \frac{1}{|\vec{\rho} - \vec{\rho}'|}, \left( \frac{\mu}{\mu_1} - 1 \right) \vec{H}^{(0)} \right] d\vec{\rho}' - \frac{k_2}{2\pi k} \times \\ &\times \int_{S_1} \text{grad} \ln \frac{1}{|\vec{\rho} - \vec{\rho}'|} \left( \frac{\epsilon_{zz}}{\epsilon_1} - 1 \right) E_z^{(0)} d\vec{\rho}'. \end{aligned} \quad (17)$$

Для деформаций типа (5), (6) из (17) следует, что свободный член является квадратичной функцией декартовых координат

$$I = (\alpha_{11}x^2 + \alpha_{12}xy + \alpha_{22}y^2 + \alpha_{00}) \vec{i} + (\beta_{11}x^2 + \beta_{12}xy + \beta_{22}y^2 + \beta_{00}) \vec{j}.$$

Следовательно, решение уравнения (17) ищем в виде полинома второй степени

$$\begin{aligned} \vec{E}_\perp^{(1)'} &= (A_{11}x^2 + A_{12}xy + A_{22}y^2 + A_{00}) \vec{i} + (B_{11}x^2 + \\ &+ B_{12}xy + B_{22}y^2 + B_{00}) \vec{j}. \end{aligned}$$

Уравнение (17) сводится к системе алгебраических уравнений относительно неизвестных коэффициентов  $A_{ik}$ ,  $B_{ik}$ , которую можно представить таким образом:

$$\begin{aligned} \sum_{i, k=0}^2 \alpha_{ikml} A_{ik} + \gamma_{ikml} B_{ik} &= \alpha_{ml}; \\ \sum_{i, k=0}^2 \alpha'_{ikml} A_{ik} + \gamma'_{ikml} B_{ik} &= \beta_{ml}. \end{aligned} \quad (18)$$

где  $m, l = 0, 1, 2$ . Система (18) отличается лишь свободными членами от соответствующей системы работы [1], определяющей внутреннее поле

анизотропного диэлектрического эллиптического цилиндра во втором по  $\frac{a}{\lambda}$  приближении. Вычисление этих свободных членов достаточно громоздко; ниже приводится лишь их окончательный вид

$$\alpha_{11} = 18\eta \left\{ \left[ \frac{\epsilon_{yx}}{\epsilon_1} A_1 + \left( \frac{\epsilon_{yy}}{\epsilon_1} - 1 \right) A_2 \right] \frac{2a^2b}{(a+b)^3} - \left[ \left( \frac{\epsilon_{xx}}{\epsilon_1} - 1 \right) B_1 + \frac{\epsilon_{xy}}{\epsilon_1} B_2 \right] \frac{b(a^2+b^2)}{(a+b)^3} \right\} + 3\eta (\mu_{22} - \mu_1) H_z^{(0)} \cdot \frac{a(a^2+3b^2)}{(a+b)^3};$$

$$\alpha_{22} = -\alpha_{11};$$

$$\beta_{12} = 2\alpha_{22}$$

$$\alpha_{00} = 6\eta \left\{ \left[ \frac{\epsilon_{yx}}{\epsilon_1} A_1 + \left( \frac{\epsilon_{yy}}{\epsilon_1} - 1 \right) A_2 \right] a^2b \frac{(2b-a)}{(a+b)^2} + \left[ \left( \frac{\epsilon_{xx}}{\epsilon_1} - 1 \right) B_1 + \frac{\epsilon_{xy}}{\epsilon_1} B_2 \right] \left[ \frac{ab}{2} + \frac{ab^2(b-2a)}{(a+b)^2} \right] + 3\eta (\mu_{22} - \mu_1) H_z^0 \left[ \frac{ab}{2} - \frac{2a^2b^2}{(a+b)^2} \right] \right\};$$

$$\beta_{11} = 18\eta \left\{ \left[ \left( \frac{\epsilon_{xx}}{\epsilon_1} - 1 \right) A_1 + \frac{\epsilon_{xy}}{\epsilon_1} A_2 \right] \frac{a(a^2+b^2)}{(a+b)^3} + \left[ \frac{\epsilon_{yx}}{\epsilon_1} B_1 + \left( \frac{\epsilon_{yy}}{\epsilon_1} - 1 \right) B_2 \right] \frac{2ab^2}{(a+b)^3} \right\} - 3\eta \frac{k_z}{k} \left( \frac{\epsilon_{zz}}{\epsilon_1} - 1 \right) E_z^0 \frac{b(a-b)^2}{(a+b)^3};$$

$$\beta_{22} = -\beta_{11};$$

$$\alpha_{12} = 2\beta_{11};$$

$$\beta_{00} = 6\eta \left\{ \left[ \left( \frac{\epsilon_{xx}}{\epsilon_1} - 1 \right) A_1 + \frac{\epsilon_{xy}}{\epsilon_1} A_2 \right] \left[ \frac{ab}{2} + \frac{a^2b(a-2b)}{(a+b)^2} \right] + \left[ \frac{\epsilon_{yx}}{\epsilon_1} B_1 + \left( \frac{\epsilon_{yy}}{\epsilon_1} - 1 \right) B_2 \right] \frac{ab^2(b-2a)}{(a+b)^2} \right\} - 3\eta \frac{k_z}{k} \left( \frac{\epsilon_{zz}}{\epsilon_1} - 1 \right) E_z^{(0)} \left[ \frac{ab}{2} - \frac{2ab^3}{(a+b)^2} \right].$$

Полученные результаты позволяют сделать следующий вывод: если функция деформации  $\Phi(x, y)$  является полиномом степени  $n$ , то добавка к полю, обусловленная этой деформацией, находится из системы линейных алгебраических уравнений, определяющих внутреннее поле эллиптического цилиндра в  $n$  приближении по  $\frac{a}{\lambda}$  заменой свободных членов, обусловленных падающей волной на свободные члены, полученные для данной деформации.

Продольная составляющая внутреннего поля деформированного цилиндра будет иметь следующий вид:

$$E_z^{(1)} = (A_3x + B_3y) + (C_{11}x^2 + C_{12}xy + C_{22}y^2 + C_{00}). \quad (19)$$

(значения  $A_3, B_3$  приведены в работе [1]);

$$C_{11} = -6\eta \frac{k_z}{k} \left[ \frac{\epsilon_{yx}}{\epsilon_1} E_x^{(0)} + \left( \frac{\epsilon_{yy}}{\epsilon_1} - 1 \right) E_y^{(0)} \right] \frac{ab}{(a+b)^2} + \frac{k_z}{2k} \left\{ \left[ \left( \frac{\epsilon_{xx}}{\epsilon_1} - 1 \right) A_1' + \frac{\epsilon_{xy}}{\epsilon_1} A_2' \right] \frac{b(2a+b)}{(a+b)^2} + \left[ \frac{\epsilon_{yx}}{\epsilon_1} B_1' + \left( \frac{\epsilon_{yy}}{\epsilon_1} - 1 \right) B_2' \right] \frac{b^2}{(a+b)^2} \right\} + \frac{\mu_1}{2} \left\{ \left[ \frac{\mu_{yx}}{\mu_1} C_1' + \left( \frac{\mu_{yy}}{\mu_1} - 1 \right) C_2' \right] \frac{b(2a+b)}{(a+b)^2} - \left[ \left( \frac{\mu_{xx}}{\mu_1} - 1 \right) D_1' + \frac{\mu_{xy}}{\mu_1} D_2' \right] \frac{b^2}{(a+b)^2} \right\};$$

$$C_{12} = -6\eta \frac{k_z}{k} \left[ \left( \frac{\epsilon_{xx}}{\epsilon_1} - 1 \right) E_x^{(0)} + \frac{\epsilon_{xy}}{\epsilon_1} E_y^{(0)} \right] \frac{a^2+b^2}{(a+b)^2} + \frac{k_z}{k} \left\{ \left[ \left( \frac{\epsilon_{xx}}{\epsilon_1} - 1 \right) B_1' + \right. \right.$$

$$\begin{aligned}
& + \frac{\varepsilon_{xy}}{\varepsilon_1} B_2'] \frac{b^2}{(a+b)^2} + \left[ \frac{\varepsilon_{yx}}{\varepsilon_1} A_1' + \left( \frac{\varepsilon_{yy}}{\varepsilon_1} - 1 \right) A_2' \right] \frac{a^2}{(a+b)^2} + \mu_1 \left\{ \left[ \frac{\mu_{yx}}{\mu_1} D_1' + \right. \right. \\
& \quad \left. \left. + \left( \frac{\mu_{yy}}{\mu_1} - 1 \right) D_2' \right] \frac{b^2}{(a+b)^2} - \left[ \left( \frac{\mu_{xx}}{\mu_1} - 1 \right) C_1' + \frac{\mu_{xy}}{\mu_1} C_2' \right] \frac{a^2}{(a+b)^2} \right\}; \\
C_{22} & = 6\eta \frac{k_z}{k} \left[ \frac{\varepsilon_{yx}}{\varepsilon_1} E_x^{(0)} + \left( \frac{\varepsilon_{yy}}{\varepsilon_1} - 1 \right) E_y^{(0)} \right] \frac{ab}{(a+b)^2} + \frac{k_z}{2k} \left\{ \left[ \left( \frac{\varepsilon_{xx}}{\varepsilon_1} - 1 \right) A_1' + \right. \right. \\
& \quad \left. \left. + \frac{\varepsilon_{xy}}{\varepsilon_1} A_2' \right] \frac{a^2}{(a+b)^2} + \left[ \frac{\varepsilon_{yx}}{\varepsilon_1} B_1' + \left( \frac{\varepsilon_{yy}}{\varepsilon_1} - 1 \right) B_2' \right] \frac{a(2b+a)}{(a+b)^2} \right\} + \frac{\mu_1}{2} \left\{ \left[ \frac{\mu_{yx}}{\mu_1} C_1' + \right. \right. \\
& \quad \left. \left. + \left( \frac{\mu_{yy}}{\mu_1} - 1 \right) C_2' \right] \frac{a^2}{(a+b)^2} - \left[ \left( \frac{\mu_{xx}}{\mu_1} - 1 \right) D_1' + \frac{\mu_{xy}}{\mu_1} D_2' \right] \frac{a(a+2b)}{(a+b)^2} \right\}; \\
C_{00} & = -3\eta \frac{k_z}{k} \left[ \frac{\varepsilon_{yx}}{\varepsilon_1} E_x^{(0)} + \left( \frac{\varepsilon_{yy}}{\varepsilon_1} - 1 \right) E_y^{(0)} \right] \frac{ab(b-a)}{a+b} - \\
& - \frac{k_z}{2k} \left\{ \left[ \left( \frac{\varepsilon_{xx}}{\varepsilon_1} - 1 \right) A_1' + \frac{\varepsilon_{xy}}{\varepsilon_1} A_2' \right] \frac{a^2 b}{(a+b)^2} + \left[ \frac{\varepsilon_{xx}}{\varepsilon_1} B_1' + \left( \frac{\varepsilon_{yy}}{\varepsilon_1} - 1 \right) B_2' \right] \frac{ab^2}{(a+b)^2} - \right. \\
& \quad \left. - \frac{\mu_1}{2} \left[ \frac{\mu_{yx}}{\mu_1} C_1' + \left( \frac{\mu_{yy}}{\mu_1} - 1 \right) C_2' \right] \frac{a^2 b}{(a+b)^2} - \left[ \left( \frac{\mu_{xx}}{\mu_1} - 1 \right) D_1' + \frac{\mu_{xy}}{\mu_1} D_2' \right] \frac{ab^2}{(a+b)^2} \right\}.
\end{aligned}$$

Потенциалы Герца деформированного цилиндра в  $\left(\frac{\eta}{a}\right)\left(\frac{a}{\lambda}\right)$ -приближении запишем следующим образом:

$$\begin{aligned}
\Pi_x & = -\frac{i\pi ab}{4} \left[ \left( \frac{\varepsilon_{xx}}{\varepsilon_1} - 1 \right) \left( A_{11} \frac{a^2}{4} + A_{22} \frac{b^2}{4} + A_{00} \right) + \frac{\varepsilon_{xy}}{\varepsilon_1} \left( B_{11} \frac{a^2}{4} + \right. \right. \\
& \quad \left. \left. + B_{22} \frac{b^2}{4} + B_{00} \right) \right] - \frac{i\pi ab}{16} 3\eta \left\{ \left[ \left( \frac{\varepsilon_{xx}}{\varepsilon_1} - 1 \right) B_1 + \frac{\varepsilon_{xy}}{\varepsilon_1} B_2 \right] (a^2 - 3b^2) - \right. \\
& \quad \left. - \left[ \frac{\varepsilon_{yx}}{\varepsilon_1} A_1 + \left( \frac{\varepsilon_{yy}}{\varepsilon_1} - 1 \right) A_2 \right] 2a^2 \right\} + \frac{i\pi ab^3}{16} \frac{k_{\perp}}{k} \left[ \left( \frac{\varepsilon_{xx}}{\varepsilon_1} - 1 \right) B_1' + \frac{\varepsilon_{xy}}{\varepsilon_1} B_2' \right] + \\
& \quad + \frac{i\pi ab}{16} 3\eta \frac{k_{\perp}}{k} \left[ \left( \frac{\varepsilon_{xx}}{\varepsilon_1} - 1 \right) E_x^{(0)} + \frac{\varepsilon_{xy}}{\varepsilon_1} E_y^{(0)} \right] (a^2 - 3b^2); \\
\Pi_y & = -\frac{i\pi ab}{4} \left[ \frac{\varepsilon_{yx}}{\varepsilon_1} \left( A_{11} \frac{a^2}{4} + A_{22} \frac{b^2}{4} + A_{00} \right) + \left( \frac{\varepsilon_{yy}}{\varepsilon_1} - 1 \right) \left( B_{11} \frac{a^2}{4} + \right. \right. \\
& \quad \left. \left. + B_{22} \frac{b^2}{4} + B_{00} \right) \right] + \frac{i\pi ab}{16} 3\eta \left\{ \left[ \left( \frac{\varepsilon_{xx}}{\varepsilon_1} - 1 \right) A_1 + \frac{\varepsilon_{xy}}{\varepsilon_1} A_2 \right] (a^2 + b^2) - \left[ \frac{\varepsilon_{yx}}{\varepsilon_1} B_1 + \right. \right. \\
& \quad \left. \left. + \left( \frac{\varepsilon_{yy}}{\varepsilon_1} - 1 \right) B_2 \right] 2b^2 + \frac{i\pi ab^3}{16} \frac{k_{\perp}}{k} \left[ \frac{\varepsilon_{yx}}{\varepsilon_1} B_1' + \left( \frac{\varepsilon_{yy}}{\varepsilon_1} - 1 \right) B_2' \right] + \right. \\
& \quad \left. + \frac{i\pi ab^3}{8} \frac{k_{\perp}}{k} 3\eta \left[ \frac{\varepsilon_{yx}}{\varepsilon_1} E_x^{(0)} + \left( \frac{\varepsilon_{yy}}{\varepsilon_1} - 1 \right) E_y^{(0)} \right] \right\}.
\end{aligned}$$

Литература